

УДК 539.37

## ОПРЕДЕЛЕНИЕ ОБЛАСТЕЙ УПРУГОГО И ПЛАСТИЧЕСКОГО ДЕФОРМИРОВАНИЯ В ЗАДАЧЕ ОБ ОДНООСНОМ РАСТЯЖЕНИИ ПЛАСТИНЫ, ОСЛАБЛЕННОЙ ОТВЕРСТИЯМИ

О. В. Гомонова, С. И. Сенашов

Сибирский государственный университет науки и технологий им. М. Ф. Решетнева,  
660037 Красноярск, Россия  
E-mails: gomonova@sibsau.ru, sen@sibsau.ru

Решена задача определения областей упругого и пластического деформирования, возникающих в ослабленной двумя круговыми отверстиями пластине при ее растяжении, в случае плоского напряженного состояния. Методика решения задачи основана на использовании законов сохранения.

Ключевые слова: упругопластическая задача, законы сохранения, плоское напряженное состояние, одноосное растяжение.

DOI: 10.15372/PMTF20210119

Сложность упругопластических задач заключается в том, что при их решении необходимо найти неизвестную границу, разделяющую области упругого и пластического деформирования. Это обстоятельство затрудняет численное и аналитическое решение таких задач даже в двумерном случае. Кроме того, уравнения, описывающие пластическое состояние, являются уравнениями гиперболического типа, а уравнения, описывающие упругое состояние, — уравнениями эллиптического типа. Обзор решенных задач и методов их решения приведен в работе [1]. Заметим, что упругопластические задачи, как правило, решались методами теории функций комплексной переменной [2–5].

В данной работе используется методика, основанная на построении законов сохранения для дифференциальных уравнений [6]. Эта методика применялась при решении краевых задач для двумерных уравнений пластичности [7, 8], а также при решении упругопластических задач о кручении стержней и изгибе балок постоянного сечения [9]. В [10] определена граница областей упругого и пластического деформирования в задаче о деформированном состоянии прямоугольной пластины, ослабленной отверстиями.

Методика исследования и решения дифференциальных уравнений с помощью законов сохранения разработана в классических работах С. Ли и развита Л. В. Овсянниковым и его учениками [11]. Однако в отличие от локальных симметрий, используемых в методике Ли — Овсянникова, законы сохранения являются глобальными, поэтому более целесообразно использовать их для решения краевых задач.

---

Работа выполнена при финансовой поддержке Красноярского математического центра, финансируемого Министерством образования и науки РФ в рамках мероприятий по созданию и развитию региональных научно-образовательных математических центров (соглашение 075-02-2020-1631).

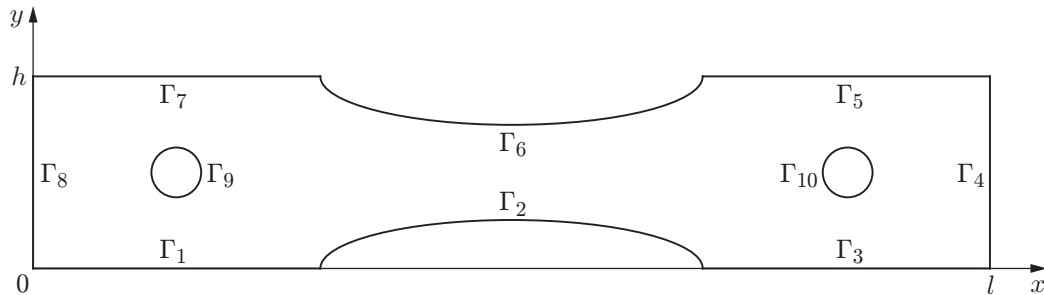


Рис. 1. Геометрия пластины

В данной работе решена задача о нахождении областей упругого и пластического деформирования в пластине с вырезами, ослабленной круговыми отверстиями. Предполагается, что пластина находится в плоском напряженном состоянии.

**1. Постановка задачи.** Рассмотрим пластину длиной  $l$  и шириной  $h$ , ослабленную двумя круговыми отверстиями радиусом  $r$  (рис. 1). Заметим, что форма пластины выбрана в соответствии с формой образцов, используемых при проведении испытаний на растяжение. Внешний контур пластины задается следующими уравнениями:

$$\begin{aligned} \Gamma_1: 0 < x < l/2 - a, y = 0, \quad \Gamma_2: y = (b/a)\sqrt{a^2 - (x - l/2)^2}, l/2 - a < x < l/2 + a, \\ \Gamma_3: y = 0, l/2 + a < x < l, \quad \Gamma_4: x = l, 0 < y < h, \quad \Gamma_5: y = h, l < x < l/2 + a, \\ \Gamma_6: y = h - (b/a)\sqrt{a^2 - (x - l/2)^2}, l/2 + a < x < l/2 - a, \\ \Gamma_7: y = h, l/2 - a < x < 0, \quad \Gamma_8: x = 0, 0 < y < h. \end{aligned} \quad (1)$$

Для численных расчетов выбраны размеры пластины  $l = 0,1$  м,  $h = 0,02$  м и радиусы отверстий  $r = 0,0025$  м. Длины большой и малой полуосей эллипсов, дуги которых представляют собой контуры  $\Gamma_2$  и  $\Gamma_6$ , соответственно равны  $a = 0,02$  м и  $b = 0,005$  м.

Пластина подвергается одноосному растяжению вдоль оси  $x$ . Внешний контур  $\Gamma$  пластины ( $\Gamma = \Gamma_1 \cup \Gamma_2 \cup \Gamma_3 \cup \Gamma_4 \cup \Gamma_5 \cup \Gamma_6 \cup \Gamma_7 \cup \Gamma_8$ ), а также два внутренних ( $\Gamma_9$  и  $\Gamma_{10}$ ) находятся в пластическом состоянии. К каждому из контуров  $\Gamma_9$  и  $\Gamma_{10}$  равномерно приложено давление  $2p$ .

Для определения границы областей упругого и пластического деформирования необходимо решить упругопластическую задачу для области, ограниченной контурами  $\Gamma$ ,  $\Gamma_9$  и  $\Gamma_{10}$ .

Заметим, что в случае плоского напряженного состояния компоненты тензора напряжений  $\sigma_x$ ,  $\sigma_y$ ,  $\tau$  удовлетворяют уравнениям равновесия

$$\frac{\partial \sigma_x}{\partial x} + \frac{\partial \tau}{\partial y} = 0, \quad \frac{\partial \sigma_y}{\partial y} + \frac{\partial \tau}{\partial x} = 0. \quad (2)$$

В области упругого деформирования имеет место уравнение совместности в напряжениях

$$\Delta(\sigma_x + \sigma_y) = 0. \quad (3)$$

Условие пластичности на границах пластины в случае плоского напряженного состояния имеет вид

$$\sigma_x^2 + \sigma_y^2 - \sigma_x \sigma_y + 3\tau^2 = 3k^2, \quad (4)$$

где  $k$  — постоянная пластичности материала, равная пределу текучести при чистом сдвиге.

Граничные условия для пластины записываются следующим образом:

$$\sigma_x n_1 + \tau n_2 = X, \quad \sigma_y n_2 + \tau n_1 = Y. \quad (5)$$

Здесь  $n_1, n_2$  — компоненты вектора нормали к контуру  $\Gamma$ ;  $X, Y$  — компоненты вектора внешних усилий.

Учитывая, что контуры  $\Gamma_1, \Gamma_3$  и  $\Gamma_5, \Gamma_7$  пластины свободны от внешних усилий, с использованием условий (4), (5) можно найти значения нормальных и касательных напряжений, возникающих на них при растяжении пластины:

$$\begin{aligned} \sigma_x \cdot 0 + \tau \cdot 1 &= 0, & \sigma_y \cdot 1 + \tau \cdot 0 &= 0, \\ \sigma_x^2 + \sigma_y^2 - \sigma_x \sigma_y + 3\tau^2 &= 3k^2. \end{aligned}$$

Отсюда получаем

$$\sigma_x = \pm\sqrt{3}k, \quad \sigma_y = 0, \quad \tau = 0. \quad (6)$$

На контуры  $\Gamma_2$  и  $\Gamma_6$  внешние силы также не действуют.

С учетом уравнения контура в (1) вектор нормали к контуру  $\Gamma_2$  пластины имеет вид

$$\mathbf{n} = \left( \frac{x - l/2}{\sqrt{(x - l/2)^2 + (a/b)^4 y^2}}; \frac{y}{\sqrt{(b/a)^4 (x - l/2)^2 + y^2}} \right)^T,$$

для контура  $\Gamma_6$  вектор нормали равен

$$\mathbf{n} = \left( \frac{x - l/2}{\sqrt{(x - l/2)^2 + (a/b)^4 (y - h)^2}}; \frac{y - h}{\sqrt{(b/a)^4 (x - l/2)^2 + (y - h)^2}} \right)^T.$$

С учетом равенств (4), (5) получаем значения нормальных и касательных напряжений, возникающих на контурах  $\Gamma_2, \Gamma_6$ :

$$\begin{aligned} \Gamma_2: \quad \sigma_x &= \pm\sqrt{3}k \frac{(a/b)^4 y^2}{(l/2 - x)^2 + (a/b)^4 y^2}, & \sigma_y &= \pm\sqrt{3}k \frac{(l/2 - x)^2}{(l/2 - x)^2 + (a/b)^4 y^2}, \\ \tau &= \pm\sqrt{3}k \frac{(a/b)^2 y (l/2 - x)}{(l/2 - x)^2 + (a/b)^4 y^2}; \end{aligned} \quad (7)$$

$$\begin{aligned} \Gamma_6: \quad \sigma_x &= \pm\sqrt{3}k \frac{(a/b)^4 (y - h)^2}{(l/2 - x)^2 + (a/b)^4 (y - h)^2}, & \sigma_y &= \pm\sqrt{3}k \frac{(l/2 - x)^2}{(l/2 - x)^2 + (a/b)^4 (y - h)^2}, \\ \tau &= \pm\sqrt{3}k \frac{(a/b)^2 (y - h) (l/2 - x)}{(l/2 - x)^2 + (a/b)^4 (y - h)^2}. \end{aligned} \quad (8)$$

На пластину действует растягивающее усилие вдоль оси абсцисс. Заметим, что величина растягивающего усилия, а следовательно, и возникающего на контурах  $\Gamma_4, \Gamma_8$  напряжения  $\sigma_x$  с учетом (4), (5) находится в диапазоне  $[-2k, 2k]$ .

Форма и размеры областей упругого и пластического деформирования, образующихся в пластине при растяжении, зависят от условий нагружения пластины и значений возникающих при этом нормальных и касательных напряжений на ее контурах. Рассмотрим несколько случаев распределения напряжений на контурах исследуемой пластины.

Случай 1. На контурах  $\Gamma_1, \Gamma_3, \Gamma_5, \Gamma_7$  действуют напряжения  $\sigma_x = \sqrt{3}k, \sigma_y = \tau = 0$ , на контурах  $\Gamma_4, \Gamma_8$  — напряжения  $\sigma_x = \sqrt{3}k, \sigma_y = \tau = 0$ , на контурах  $\Gamma_2, \Gamma_6$  — напряжения, определяемые выражениями (7), (8) соответственно при  $\sigma_x > 0, \sigma_y > 0, \tau > 0$ .

Случай 2. На контурах  $\Gamma_1, \Gamma_3, \Gamma_5, \Gamma_7$  действуют напряжения  $\sigma_x = \sqrt{3}k, \sigma_y = \tau = 0$ , на контурах  $\Gamma_4, \Gamma_8$  — напряжения  $\sigma_x = (\sqrt{3}/2)k, \sigma_y = ((\sqrt{3} - \sqrt{39})/4)k, \tau = 0$ , на контурах

$\Gamma_2, \Gamma_6$  — напряжения, определяемые выражениями (7), (8) соответственно при  $\sigma_x > 0, \sigma_y > 0, \tau > 0$ .

Случай 3. На контурах  $\Gamma_1, \Gamma_3, \Gamma_5, \Gamma_7$  действуют напряжения  $\sigma_x = -\sqrt{3}k, \sigma_y = \tau = 0$ , на контурах  $\Gamma_4, \Gamma_8$  — напряжения  $\sigma_x = \sqrt{3}k, \sigma_y = \tau = 0$ , на контурах  $\Gamma_2, \Gamma_6$  — напряжения, определяемые выражениями (7), (8) соответственно при  $\sigma_x < 0, \sigma_y < 0, \tau < 0$ .

Случай 4. На контурах  $\Gamma_1, \Gamma_3, \Gamma_5, \Gamma_7$  действуют напряжения  $\sigma_x = -\sqrt{3}k, \sigma_y = \tau = 0$ , на контурах  $\Gamma_4, \Gamma_8$  — напряжения  $\sigma_x = 2k, \sigma_y = k, \tau = 0$ , на контурах  $\Gamma_2, \Gamma_6$  — напряжения, определяемые выражениями (7), (8) соответственно при  $\sigma_x < 0, \sigma_y < 0, \tau < 0$ .

Для всех указанных выше случаев получим значения напряжений на внутренних контурах  $\Gamma_9, \Gamma_{10}$  пластины, учитывая, что напряжения на этих контурах удовлетворяют условию

$$\sigma_x + \sigma_y = 2p, \quad \tau = 0, \quad (9)$$

где  $p$  — постоянная величина, значение которой определяется условием пластичности (4):

$$\sigma_x^2 + \sigma_y^2 - \sigma_x \sigma_y = 3k^2. \quad (10)$$

Заметим, что в данном случае  $\tau = \tau_{r\varphi} = 0$  [10], где  $r, \varphi$  — координаты полярной системы координат.

Решая систему (9), (10), находим значения функций напряжений  $\sigma_x, \sigma_y$ :

$$\sigma_x = p \mp \sqrt{k^2 - p^2/3}, \quad \sigma_y = p \pm \sqrt{k^2 - p^2/3}.$$

Полагая  $p = \sqrt{3}k$ , для контуров  $\Gamma_9, \Gamma_{10}$  получаем  $\sigma_x = \sqrt{3}k, \sigma_y = \sqrt{3}k$ .

**2. Применение законов сохранения при решении задачи.** Получим решение поставленной выше упругопластической задачи, используя законы сохранения. Более подробно данная методика изложена в [10].

Решение поставленной задачи включает три основных этапа.

На первом этапе решается уравнение Лапласа  $\Delta F = 0$  с граничными условиями  $F|_{\Gamma, \Gamma_9, \Gamma_{10}} = \sigma_x + \sigma_y$  ( $\sigma_x, \sigma_y$  — функции в условиях (4), (5);  $F = \sigma_x + \sigma_y$  — гармоническая функция в (3)). Для случаев 1–4 получаем следующие значения функции  $F$  на контурах  $\Gamma, \Gamma_9, \Gamma_{10}$ :

— случай 1:

$$F|_{\Gamma_1, \Gamma_3, \Gamma_5, \Gamma_7} = \sqrt{3}k, \quad F|_{\Gamma_4, \Gamma_8} = \sqrt{3}k, \quad F|_{\Gamma_2, \Gamma_6} = \sqrt{3}k, \quad F|_{\Gamma_9, \Gamma_{10}} = 2\sqrt{3}k;$$

— случай 2:

$$F|_{\Gamma_1, \Gamma_3, \Gamma_5, \Gamma_7} = \sqrt{3}k, \quad F|_{\Gamma_4, \Gamma_8} = \frac{3\sqrt{3} - \sqrt{39}}{4}k, \quad F|_{\Gamma_2, \Gamma_6} = \sqrt{3}k, \quad F|_{\Gamma_9, \Gamma_{10}} = 2\sqrt{3}k;$$

— случай 3:

$$F|_{\Gamma_1, \Gamma_3, \Gamma_5, \Gamma_7} = -\sqrt{3}k, \quad F|_{\Gamma_4, \Gamma_8} = \sqrt{3}k, \quad F|_{\Gamma_2, \Gamma_6} = -\sqrt{3}k, \quad F|_{\Gamma_9, \Gamma_{10}} = 2\sqrt{3}k;$$

— случай 4:

$$F|_{\Gamma_1, \Gamma_3, \Gamma_5, \Gamma_7} = -\sqrt{3}k, \quad F|_{\Gamma_4, \Gamma_8} = 3k, \quad F|_{\Gamma_2, \Gamma_6} = -\sqrt{3}k, \quad F|_{\Gamma_9, \Gamma_{10}} = 2\sqrt{3}k.$$

Далее, с использованием метода конечных элементов находим значения функции  $F$  во всех точках  $(x_0, y_0)$  области (узлах сетки), ограниченной контурами  $\Gamma, \Gamma_9, \Gamma_{10}$ . Количество полученных точек зависит от способа разбиения области, а также от размера конечных элементов. Из найденных значений функции  $F$  уравнения Лапласа в каждом узле сетки и

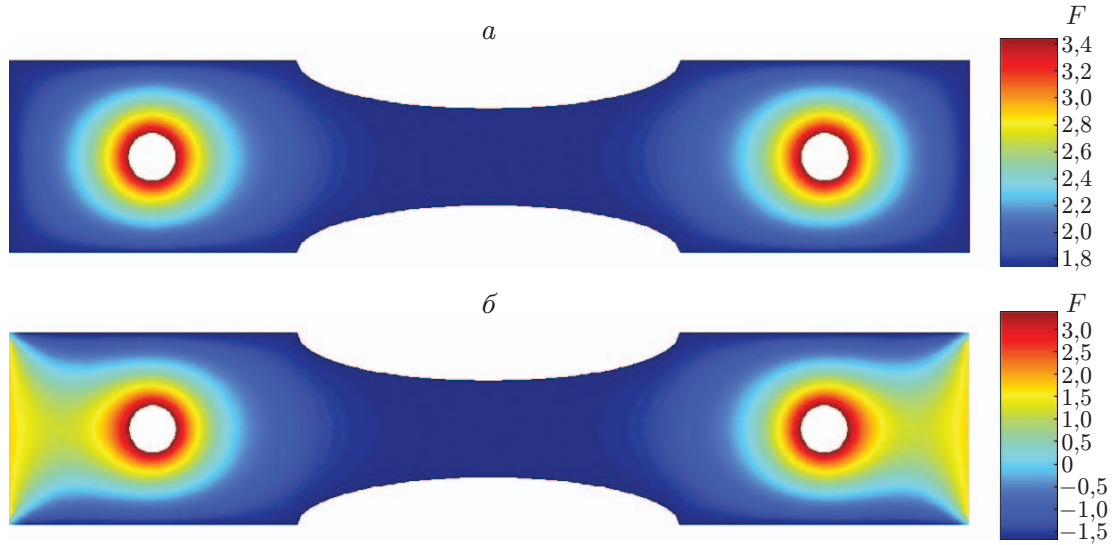


Рис. 2. Распределение функции  $F$  (решения уравнения Лапласа), полученное с помощью метода конечных элементов при различных значениях этой функции на границах:

$a$  — случай 1,  $b$  — случай 3

координат самих узлов были составлены матрицы, все последующие вычисления проводились с использованием этих матриц.

На рис. 2 представлены результаты решения уравнения Лапласа с помощью метода конечных элементов для случаев 1 и 3.

На втором этапе решения задачи по формулам, найденным с использованием законов сохранения, определяются функции  $\sigma_x, \sigma_y, \tau$  в каждой точке  $(x_0, y_0)$  области. Ниже приведен алгоритм получения этих формул. Более подробно алгоритм изложен в работе [10].

Из уравнений равновесия (2) и определения  $F = \sigma_x + \sigma_y$  получаем

$$\frac{\partial \sigma_x}{\partial x} + \frac{\partial \tau}{\partial y} = 0, \quad \frac{\partial \tau}{\partial x} + \frac{\partial F}{\partial y} - \frac{\partial \sigma_x}{\partial y} = 0, \quad \sigma_y = F - \sigma_x. \tag{11}$$

Запишем законы сохранения для первых двух уравнений в (11). Пусть  $A = A(x, y, \sigma_x, \tau)$ ,  $B = B(x, y, \sigma_x, \tau)$ . Законы сохранения будем искать в виде равенства  $D_x A + D_y B = 0$ , выполняющегося в силу уравнений (11) ( $D_x, D_y$  — операторы полных производных по переменным  $x, y$  соответственно). Тогда

$$A_x + A_{\sigma_x} \frac{\partial \sigma_x}{\partial x} + A_{\tau} \frac{\partial \tau}{\partial x} + B_y + B_{\sigma_x} \frac{\partial \sigma_x}{\partial y} + B_{\tau} \frac{\partial \tau}{\partial y} = 0,$$

или с учетом (11)

$$A_x + A_{\sigma_x} \left( -\frac{\partial \tau}{\partial y} \right) + A_{\tau} \frac{\partial \tau}{\partial x} + B_y + B_{\sigma_x} \frac{\partial \tau}{\partial x} + B_{\sigma_x} \frac{\partial F}{\partial y} + B_{\tau} \frac{\partial \tau}{\partial y} = 0.$$

Из последнего уравнения следует

$$A_{\tau} + B_{\sigma_x} = 0, \quad -A_{\sigma_x} + B_{\tau} = 0, \quad A_x + B_y + B_{\sigma_x} \frac{\partial F}{\partial y} = 0. \tag{12}$$

Пусть  $A_{\sigma_x} = \omega_1^1, A_{\tau} = \omega_1^2, B_{\sigma_x} = \omega_2^1, B_{\tau} = \omega_2^2$ . Тогда из (12) получаем

$$\omega_1^1 = \omega_2^2, \quad \omega_1^2 = -\omega_2^1. \tag{13}$$

Предположим, что функции  $A$  и  $B$  имеют вид

$$A = \omega_1^1 \sigma_x + \omega_1^2 \tau + f_1, \quad B = \omega_2^1 \sigma_x + \omega_2^2 \tau + g_1,$$

где

$$\begin{aligned} \omega_1^1 &= \omega_1^1(x, y), & \omega_1^2 &= \omega_1^2(x, y), & \omega_2^1 &= \omega_2^1(x, y), & \omega_2^2 &= \omega_2^2(x, y), \\ f_1 &= f_1(x, y), & g_1 &= g_1(x, y). \end{aligned}$$

Положим

$$\begin{aligned} \omega_1^1 &= \frac{x - x_0}{(x - x_0)^2 + (y - y_0)^2}, & \omega_1^2 &= -\frac{y - y_0}{(x - x_0)^2 + (y - y_0)^2}, \\ \omega_2^1 &= \frac{y - y_0}{(x - x_0)^2 + (y - y_0)^2}, & \omega_2^2 &= \frac{x - x_0}{(x - x_0)^2 + (y - y_0)^2}. \end{aligned} \quad (14)$$

Очевидно, что в этом случае выполняются условия (13). Несложно показать, что функции (14) удовлетворяют также условиям Коши — Римана

$$\frac{\partial \omega_1^1}{\partial x} - \frac{\partial \omega_1^2}{\partial y} = 0, \quad \frac{\partial \omega_2^1}{\partial x} + \frac{\partial \omega_2^2}{\partial y} = 0. \quad (15)$$

Формулы (15) позволяют выделить бесконечное число законов сохранения для уравнений (2).

С использованием теории функции комплексной переменной [10] получаем формулу для нахождения значений функции  $\sigma_x$  в любой точке  $(x_0, y_0)$  области, ограниченной контурами  $\Gamma, \Gamma_9, \Gamma_{10}$ :

$$\sigma_x(x_0, y_0) = \frac{1}{2\pi} \int_{\Gamma + \Gamma_9 + \Gamma_{10}} (\omega_1^1 \sigma_x + \omega_1^2 \tau + f_1) dy - (-\omega_1^2 \sigma_x + \omega_1^1 \tau + g_1) dx. \quad (16)$$

Здесь  $f_1 = 0$ ;  $g_1 = \int \omega_1^2 dy F$ .

Проводя аналогичные рассуждения, получаем формулу для вычисления значений функции  $\tau(x_0, y_0)$ :

$$\tau(x_0, y_0) = \frac{1}{2\pi} \int_{\Gamma + \Gamma_9 + \Gamma_{10}} (\omega_2^1 \sigma_x + \omega_2^2 \tau + f_2) dy - (-\omega_2^2 \sigma_x + \omega_2^1 \tau + g_2) dx, \quad (17)$$

где  $f_2 = 0$ ;  $g_2 = \int \omega_2^2 dy F$ .

Зная значения  $\sigma_x(x_0, y_0)$  и используя последнее соотношение в (11), находим формулу для вычисления значений функции  $\sigma_y$  в соответствующих точках  $(x_0, y_0)$  области:

$$\sigma_y(x_0, y_0) = F - \sigma_x(x_0, y_0). \quad (18)$$

На третьем этапе решения поставленной задачи проверяется условие пластичности (4) в каждой внутренней точке области, ограниченной контурами  $\Gamma, \Gamma_9, \Gamma_{10}$ . Точки, в которых выполняется условие для напряжений

$$\sigma_x^2 + \sigma_y^2 - \sigma_x \sigma_y + 3\tau^2 < 3k^2,$$

принадлежат области упругого деформирования. Точки, в которых напряжения не удовлетворяют данному условию, принадлежат области пластического деформирования.

На рис. 3 представлены области упругого и пластического деформирования, полученные в результате вычислений для четырех указанных выше случаев распределения напряжений и значений функции  $F$  на контурах пластины.

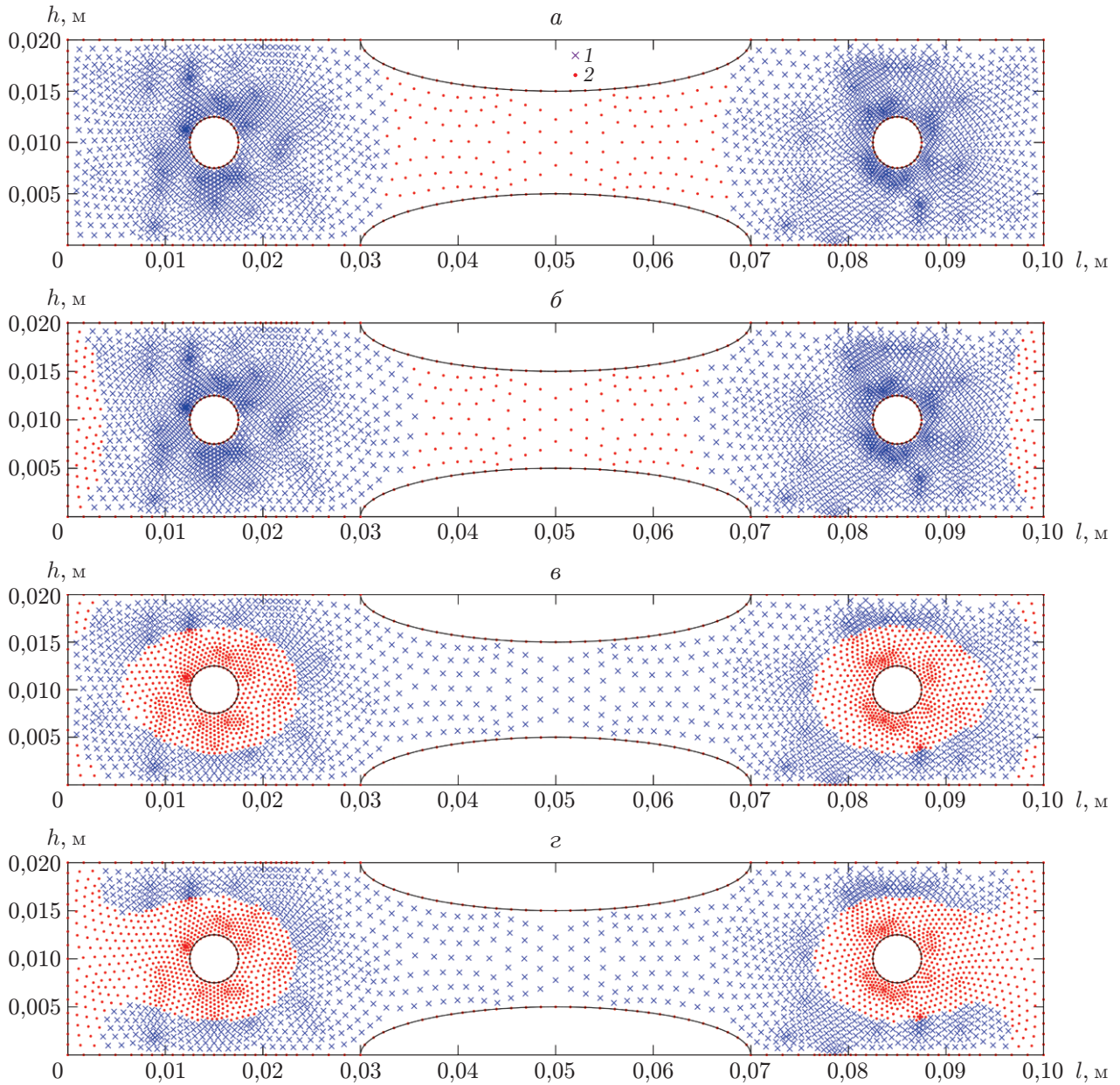


Рис. 3. Области упругого (1) и пластического (2) деформирования в пластине при различных случаях распределения напряжений и значений функции  $F$  на контурах:

*a* — случай 1, *б* — случай 2, *в* — случай 3, *г* — случай 4

С использованием предложенной методики можно определить области упругого и пластического деформирования, образующиеся в пластине при ее растяжении, и построить границу областей упругого и пластического деформирования.

Для решения задачи применены законы сохранения. Построенное решение может быть использовано для оценки прочностных характеристик пластин, применяемых в качестве образцов при испытаниях на растяжение.

#### ЛИТЕРАТУРА

1. **Аннин Б. Д.** Упруго-пластическая задача / Б. Д. Аннин, Г. П. Черепанов. Новосибирск: Наука. Сиб. отд-ние, 1983.
2. **Остросаблин Н. И.** Пластическая зона около кругового отверстия в плоскости при неоднородном основном напряженном состоянии // ПМТФ. 1990. № 5. С. 124–131.
3. **Мирсалимов В. М.** Упругопластическая задача о растяжении пластины с круговым отверстием с учетом зарождения трещины в зоне упругой деформации // ПМТФ. 2020. Т. 61, № 4. С. 162–173.
4. **Аннин Б. Д.** Упруго-пластическое распределение напряжений в плоскости с отверстием // Докл. АН СССР. 1969. Т. 184, № 2. С. 315–317.
5. **Остросаблин Н. И.** Плоское упругопластическое распределение напряжений около круговых отверстий. Новосибирск: Наука. Сиб. отд-ние, 1984.
6. **Симметрии** и законы сохранения уравнений математической физики / Под ред. А. М. Виноградова, И. С. Красильщика. М.: Факториал Пресс, 2005.
7. **Киряков П. П.** Приложение симметрий и законов сохранения к решению дифференциальных уравнений / П. П. Киряков, С. И. Сенашов, А. Н. Яхно. Новосибирск: Изд-во СО РАН, 2001.
8. **Сенашов С. И.** Математические вопросы двумерных уравнений идеальной пластичности / С. И. Сенашов, О. В. Гомонова, А. Н. Яхно. Красноярск: Сиб. гос. аэрокосм. ун-т, 2012.
9. **Senashov S. I., Cherepanova O. N., Kondrin A. V.** On elastoplastic torsion of a rod with multiply connected cross-section // J. Sib. Federal Univ. Math. Phys. 2015. V. 7, N 1. P. 343–351.
10. **Senashov S. I., Gomonova O. V.** Construction of elastoplastic boundary in problem of tension of a plate weakened by holes // Intern. J. Nonlinear Mech. 2019. V. 108. P. 7–10.
11. **Овсянников Л. В.** Групповой анализ дифференциальных уравнений. М.: Наука, 1978.

*Поступила в редакцию 12/X 2020 г.,  
после доработки — 6/XI 2020 г.  
Принята к публикации 30/XI 2020 г.*